

傾斜沈殿における清澄層流れのエネルギー積分による解析

大阪大学基礎工学部 正会員 芝 定寿

1.はじめに 水処理において傾斜沈殿が懸濁粒子の沈降促進に利用されて以来そう日は浅くない。しかし、その粒子沈降促進の機構の解析は、ここ数十年来、殆ど進んでおらず、従って、水処理での傾斜沈殿池の設計・操作法は未だ確立されるに至っていない。ここでは、傾斜沈殿の粒子沈降促進の原動力である傾斜面直下に生成する清澄層の流れについて、運動方程式から導かれる運動エネルギー積分方程式によつて理論的解析を試みた。

2.支配方程式と境界条件 傾斜面直下の清澄層流れに対する座標系をFig.1の様に定める。座標原点を傾斜板下端に一致させ、X軸を傾斜板下面に向き、Y軸をこれと垂直下向きにとる。また、鉛直からの板の傾きを傾斜角θとする。支配方程式は、運動方程式、連続方程式および界面方程式である。Eqs.6のScale Factor Γ を用いて変数変換 ($\hat{u}_x = \Gamma^{1/3} u_x / U_0$, $\hat{u}_y = u_y / U_0$, $\hat{x} = x/l$, $\hat{y} = \Gamma^{1/3} y/l$) した無次元形で支配方程式を表わせば、それぞれ、Eqs.1, 2, 3 の様になる。た

$$\frac{\partial \hat{u}_x}{\partial \hat{y}^2} + \cos \theta = A \left(\hat{u}_x \frac{\partial \hat{u}_x}{\partial \hat{x}} + \hat{u}_y \frac{\partial \hat{u}_x}{\partial \hat{y}} \right) \quad (1)$$

$$\frac{\partial \hat{u}_x}{\partial \hat{x}} + \frac{\partial \hat{u}_y}{\partial \hat{y}} = 0 \quad (2)$$

$$\hat{u}_x \frac{d\hat{\delta}}{d\hat{x}} - \hat{U}_0 - \sin \theta = 0 \quad (3)$$

だし、 \hat{u}_x , \hat{u}_y は清澄層内流速のX, Y成分； $\hat{\delta}$ は清澄層厚さ； \hat{U}_0 , \hat{U}_0 は界面における \hat{u}_x , \hat{u}_y の値；Aは次の様にReynolds数ReとScale Factor Γ とで定義される

$$A = Re \Gamma^{-1/3}, \quad Re = \frac{U_0 l}{\nu}, \quad \Gamma = 18 \left(\frac{l}{d_p} \right)^2 \phi \quad (4), (5), (6)$$

無次元数である。ただし、 U_0 は懸濁粒子群の沈降速度 [$cm \cdot sec^{-1}$]；lは傾斜板の長さ [cm]； d_p は懸濁粒子径 [cm]； ϕ は懸濁液の体積分率濃度 [-]； ν は水の動粘性係数 [$cm^2 \cdot sec^{-1}$]である。境界条件は傾斜板下端 ($\hat{x}=0$), 傾斜板下面 ($\hat{y}=0$), 清澄液と懸濁液との界面 ($\hat{y}=\hat{\delta}$) で次の様

$$\hat{x}=0 \text{ で } \hat{\delta}=0 \quad (7), \quad \hat{y}=0 \text{ で } \hat{u}_x=0, \hat{u}_y=0 \quad (8), (9), \quad \hat{y}=\hat{\delta} \text{ で } \hat{u}_x=\hat{U}_0, \frac{\partial \hat{u}_x}{\partial \hat{y}}=-\frac{\hat{U}_0}{\hat{\delta}} \quad (10), (11)$$

に与えられる。また、 ϕ は正の定数で、通常は近似的にゼロと置ける。水処理での傾斜沈殿では傾斜板を平行に並べる事が多い。しかし、傾斜板間距離に比して清澄層厚さは十分

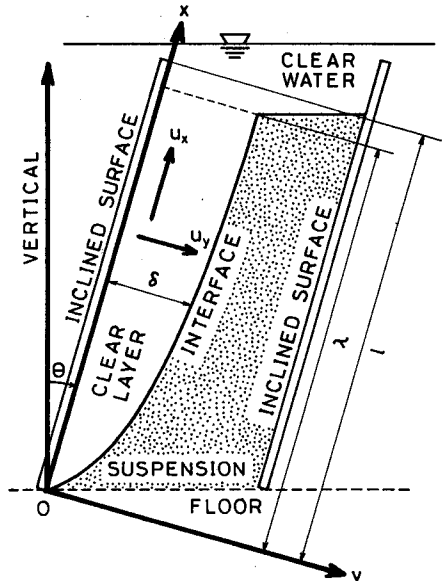


Fig. 1.-Definition Sketch for Clear Layer

小さく、隣接する傾斜板の上面が清澄層流れに及ぼす影響は無視し得る程度と考えられる。

3. 近似解

\hat{U}_x で定義される相似変数 η を導入し、 \hat{U}_x が Eq. 13 の様に $\hat{\delta}_x$ との多項式 $\phi(\eta)$ との積で表わされるものとする。このとき、 \hat{U}_y は Eq. 2 の連続方程式を用いて Eq. 14 の

$$\eta = \frac{\hat{y}}{\hat{\delta}} \dots (12), \quad \hat{U}_x = \hat{U}_x \cdot \phi(\eta) \dots (13), \quad \hat{U}_y = \hat{U}_x \frac{d\hat{\delta}}{d\hat{x}} [\phi\eta]^{\frac{2}{3}} - \frac{d}{d\hat{x}} (\hat{U}_x \hat{\delta}) \int_0^{\eta} \phi d\eta \dots (14)$$

様に与えられる。 \hat{U}_x に対する境界条件より Eqs. 15, 16, 17 が得られ、 $\phi(\eta)$ は Eq. 18 の様に決定

$$\phi(0) = 0, \quad \phi(1) = 1, \quad \phi'(1) = -k \dots (15), (16), (17), \quad \phi(\eta) = -(k+1)\eta^2 + (k+2)\eta \dots (18)$$

される。従って、 $\hat{\delta}$ および \hat{U}_x を求めれば Eqs. 13, 14 より清澄層の流れが記述出来る。 $\hat{\delta}$ と \hat{U}_x とは Eq. 1 から得られる運動エネルギー積分方程式と Eq. 2 の界面方程式とから求められる。

Eqs. 1 の面辺に \hat{U}_x を掛け $\hat{y} = 0 \sim \hat{\delta}$ で積分すると運動エネルギー積分方程式が Eq. 19 の様に得

$$\frac{\hat{U}_x^2}{\hat{\delta}} \int_0^1 \phi \phi'' d\eta + \cos \theta \cdot \hat{U}_x \hat{\delta} \int_0^1 \phi d\eta = \frac{A}{2} \left[-\hat{U}_x^2 \frac{d}{d\hat{x}} (\hat{U}_x \hat{\delta}) \int_0^1 \phi d\eta + \frac{d}{d\hat{x}} (\hat{U}_x^3 \hat{\delta}) \int_0^1 \phi^3 d\eta + \hat{U}_x^3 \frac{d\hat{\delta}}{d\hat{x}} \{ \phi(1) - \phi^3(1) \} \right] \dots (19)$$

$$\hat{U}_x = \frac{1}{(-\int_0^1 \phi \phi'' d\eta)^{\frac{1}{3}} \cdot (\int_0^1 \phi d\eta)^{\frac{1}{3}}} \cos \theta \cdot (\tan \theta \cdot \hat{x})^{\frac{2}{3}} \dots (20), \quad \hat{\delta} = \frac{(-\int_0^1 \phi \phi'' d\eta)^{\frac{1}{3}}}{(\int_0^1 \phi d\eta)^{\frac{1}{3}}} \cdot (\tan \theta \cdot \hat{x})^{\frac{1}{3}} \dots (21)$$

られる。傾斜板下面の近傍は粘性が卓越するので慣性項を無視した Stokes 近似を行なうと、Eqs. 3, 20 より、 \hat{U}_x と $\hat{\delta}$ とが Eqs. 20, 21 の様に与えられる。従って、求める \hat{U}_x と \hat{U}_y とは Eqs. 13, 14 より Eqs. 22, 23 の様になる。Stokes 近似を

$$\hat{U}_x = \left\{ \frac{16}{(k+1)(k+4)} \frac{1}{2} \cos \theta \cdot (3 \tan \theta \cdot \hat{x})^{\frac{2}{3}} \{ (k+1)\eta^2 + (k+2)\eta \} \right\} \dots (22)$$

$$\hat{U}_y = -\frac{k+2}{k+4} \sin \theta \cdot \eta^2 \dots (23)$$

した場合のエネルギー積分方程式の誤差は Eq. 19 の右辺の慣性項に相当し、Eq. 24 で与え

$$I = \frac{4^{\frac{1}{3}} (k+2)^2 (k+6)}{(k+1)^{\frac{2}{3}} (k+4)^{\frac{1}{3}}} \frac{A}{20} \sin \theta \cdot \{ \cos \theta \cdot (3 \tan \theta \cdot \hat{x})^{\frac{2}{3}} \}^2 \dots (24)$$

られる。 $\hat{\delta}$ 、 \hat{U}_x 、 \hat{U}_y 、 I 等は η の関数である。ただし、傾斜板間にについて、清澄層厚さが懸濁層厚さに比べて十分小さいときは η は非常に小さく、通常、 $\eta \approx 0$ とし得る。

Fig. 2 は \hat{U}_x と \hat{U}_y の η 分布を、 $k = 0$ に対して図示したものである。 $A = 0$ の Stokes 近似の場合で、 $A \neq 0$ の慣性項を考慮した場合である。通常の水処理では、 A は 5 度以下と考えられるから、Stokes 近似でも清澄層流れを十分表わし得るものと考えられる。

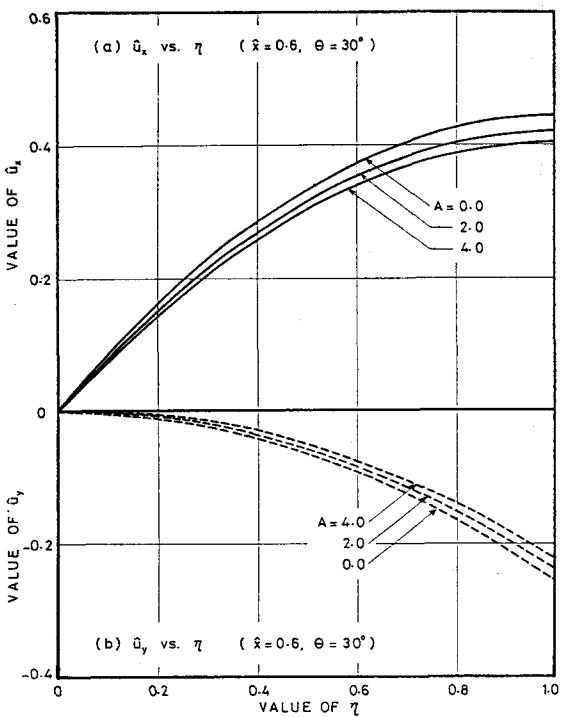


Fig. 2.-Clear Layer Velocity \hat{U}_x and \hat{U}_y